

AKADEMIA GÓRNICZO-HUTNICZA

WYDZIAŁ ELEKTROTECHNIKI, AUTOMATYKI, INFORMATYKI I INŻYNIERII BIOMEDYCZNEJ



TEORIA STEROWANIA II: ĆWICZENIA LABORATORYJNE

Sprawozdanie: Ćwiczenie 6.

Systemy Dyskretne

Andrzej Janik

Kraków, 28 maja 2023

1 Cel ćwiczenia

Celem ćwiczenia było zapoznanie się z podstawowymi właściwościami systemów dynamicznych dyskretnych w czasie. System dyskretny zwykle opisuje się modelem matematycznym w postaci odpowiednich równań rekurencyjnych. Z modelami w postaci równań rekurencyjnych spotykamy się najczęściej w dwóch przypadkach:

1. przy opisie komputerowych układów sterowania
2. przy numerycznym rozwiązywaniu równań różniczkowych

Podczas laboratorium duży nacisk został nałożony na czas próbkowania oraz kwestii związanych z jego wartością i zachowaniem się badanego układu.

2 Przebieg ćwiczenia

2.1 Zadanie 7.1

Zadanie polegało na zamodelowaniu układu RLC w Simulinku. Na wejściu systemu zależało podłączyć eksrapolator rzędu zerowego, obliczyć macierze A^+ , B^+ , C^+ dla zadanego h i przeanalizować zachowanie układu dyskretnego-ciągłego w zależności od parametru h . Macierze A,B,C układu RLC mają postać:

$$A = \begin{bmatrix} 0 & 1 \\ -6 & -5 \end{bmatrix} \quad (1)$$

$$B = \begin{bmatrix} 0 \\ 6 \end{bmatrix} \quad (2)$$

$$C = \begin{bmatrix} 0 & 6 \end{bmatrix} \quad (3)$$

Następnie analitycznie wyznaczono macierze A^+ , B^+ , C^+ według następujących wzorów:

$$A^+ = e^{At} = Pe^{Jh}P^{-1} \quad (4)$$

$$B^+ = \int_0^h e^{At} dy \quad (5)$$

$$C^+ = C \quad (6)$$

Macierze wyznaczone analitycznie prezentują się następująco:

$$A^+ = \begin{bmatrix} 3e^{-2h} - 2e^{-3h} & e^{-2h} - e^{-3h} \\ -6e^{-2h} + 6e^{-3h} & -2e^{-2h} + 3e^{-3h} \end{bmatrix} \quad (7)$$

$$B^+ = \begin{bmatrix} -3e^{-2h} + 2e^{-3h} \\ 6e^{-2h} - 6e^{-3h} \end{bmatrix} - \begin{bmatrix} -1 \\ 0 \end{bmatrix} \quad (8)$$

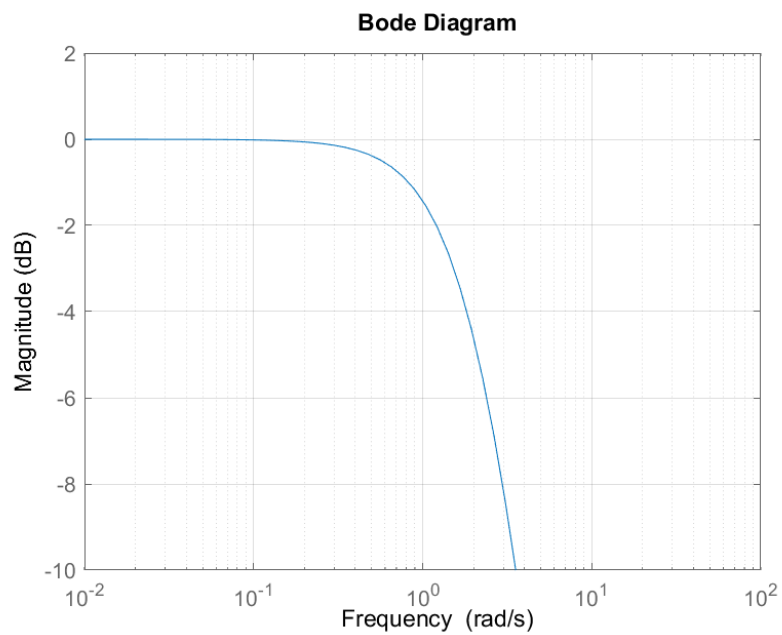
Po podstawieniu wartości $h = 0.6981$ otrzymujemy macierze:

$$A^+ = \begin{bmatrix} 0.4963 & 0.1244 \\ -0.7463 & -0.1256 \end{bmatrix} \quad (9)$$

$$B^+ = \begin{bmatrix} 0.5037 \\ 0.7463 \end{bmatrix} \quad (10)$$

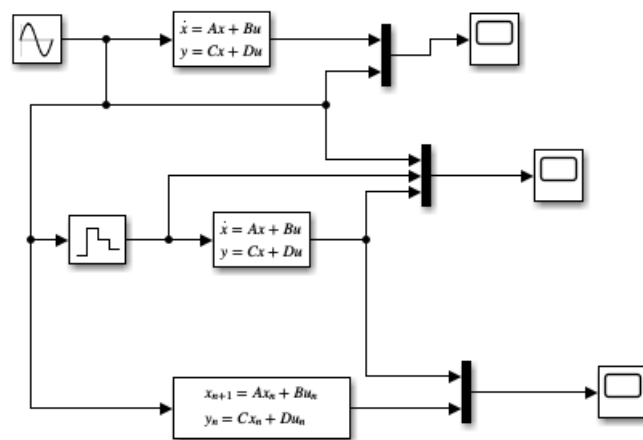
Wyznaczone macierze zgadzają się z tymi, które zostały zwrócone w wyniku zastosowania wbudowanej funkcji matlabowej *c2d*.

Na początku za pomocą charakterystyki Bodego wyznaczaliśmy wartość pulsacji, dla którego nasz system ma zapas modułu równy $-3dB$. Wartość $-3dB$ jest uważana jako akceptowalny kompromis pomiędzy rzeczywistym sygnałem a ograniczeniami powstałymi na skutek okresu próbkowania i tą wartość pulsacji ω wykorzystaliśmy do wyznaczenia maksymalnego okresu próbkowania h_{max} .



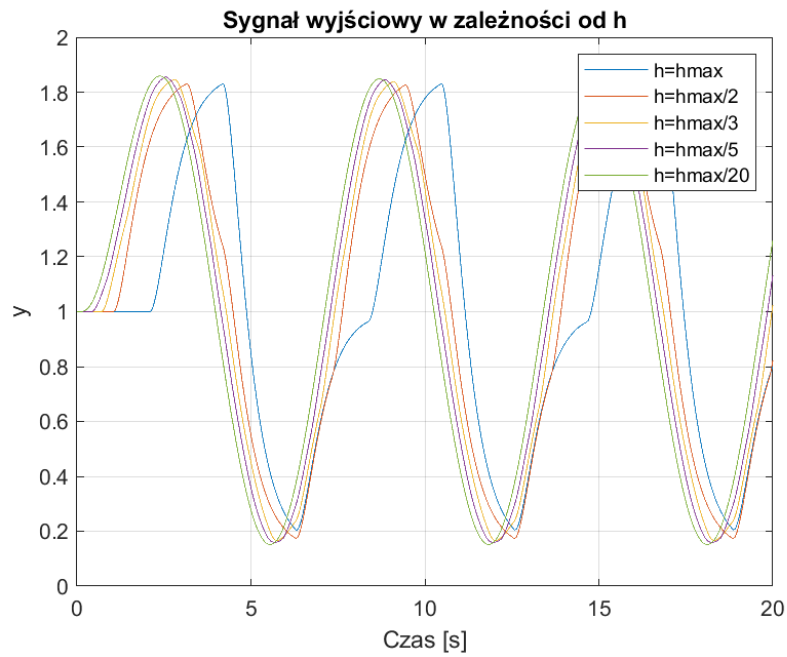
Rysunek 1: Charakterystyka Bodego.

Układ zbudowany w programie Simulink:

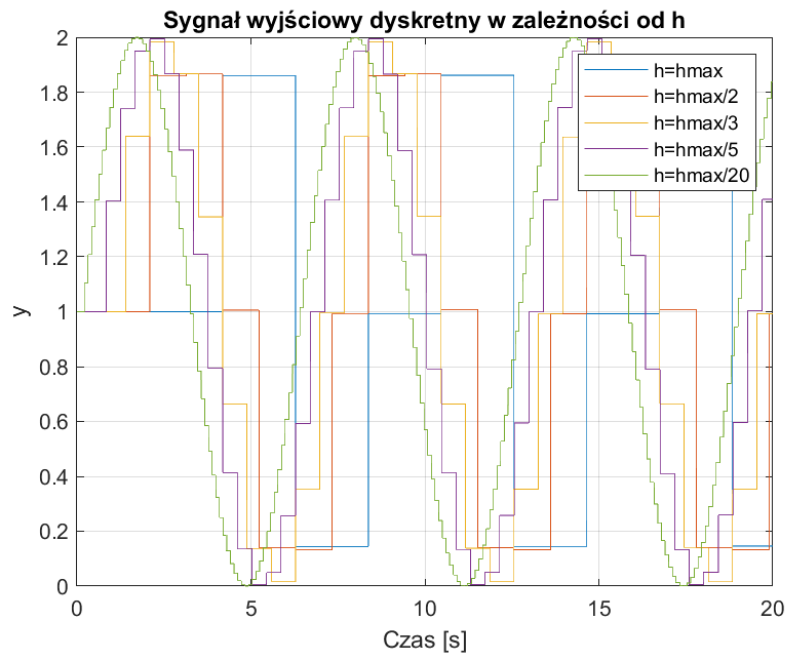


Rysunek 2: Układ w Simulinku

Dla różnych wartości h badaliśmy zachowanie naszego układu.

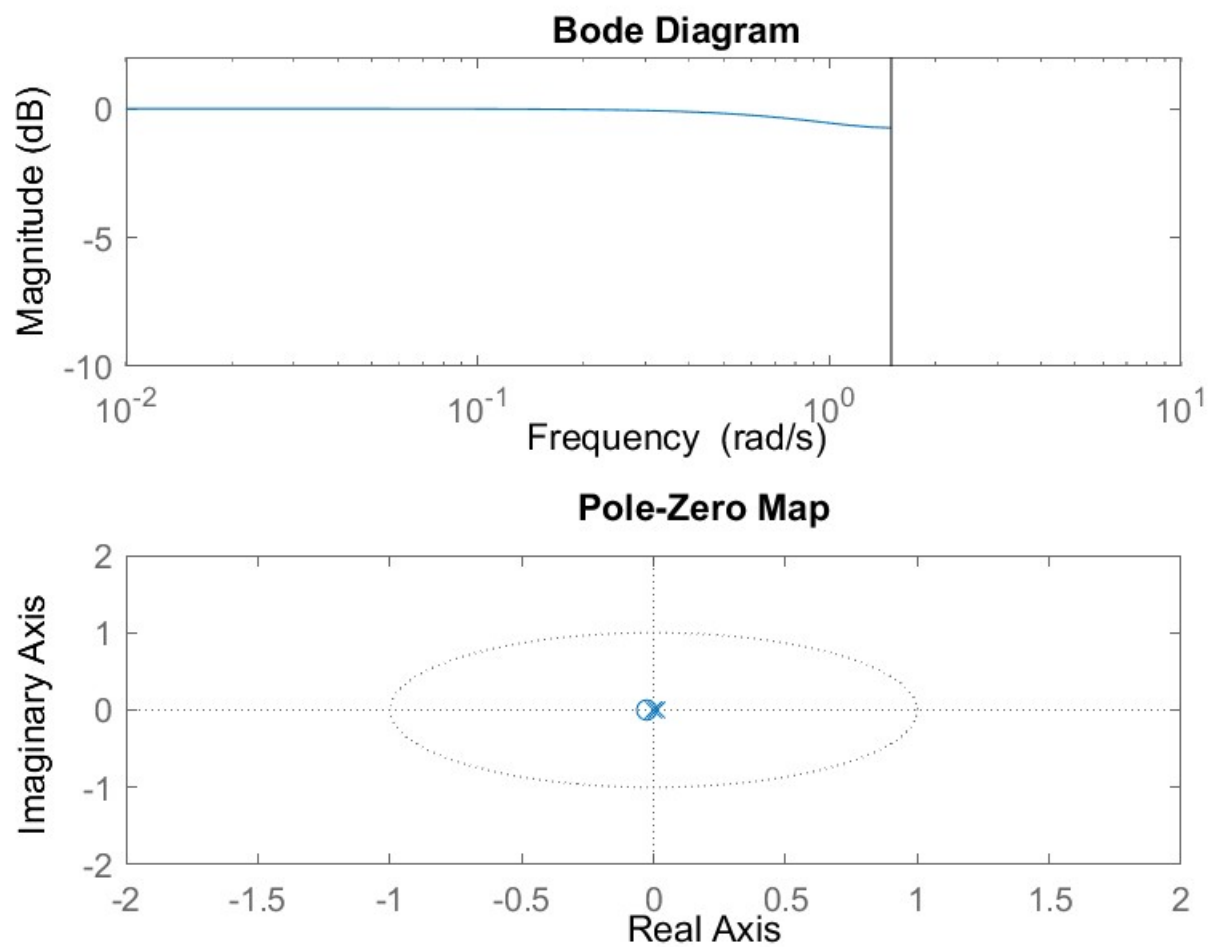


Rysunek 3: Sygnał wyjściowy ze bloku state-space w zależności od h .

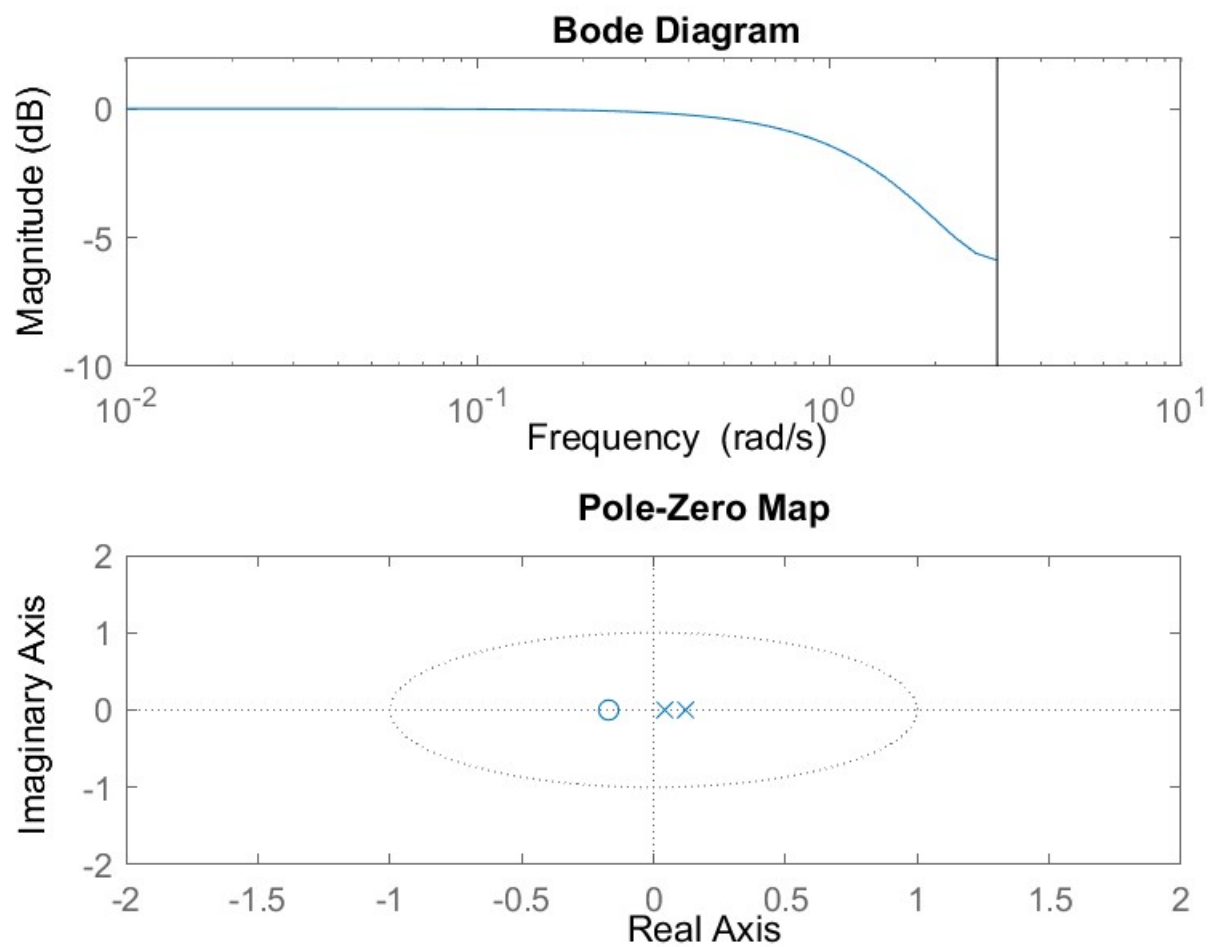


Rysunek 4: Sygnał wyjściowy dyskretny w zależności od h .

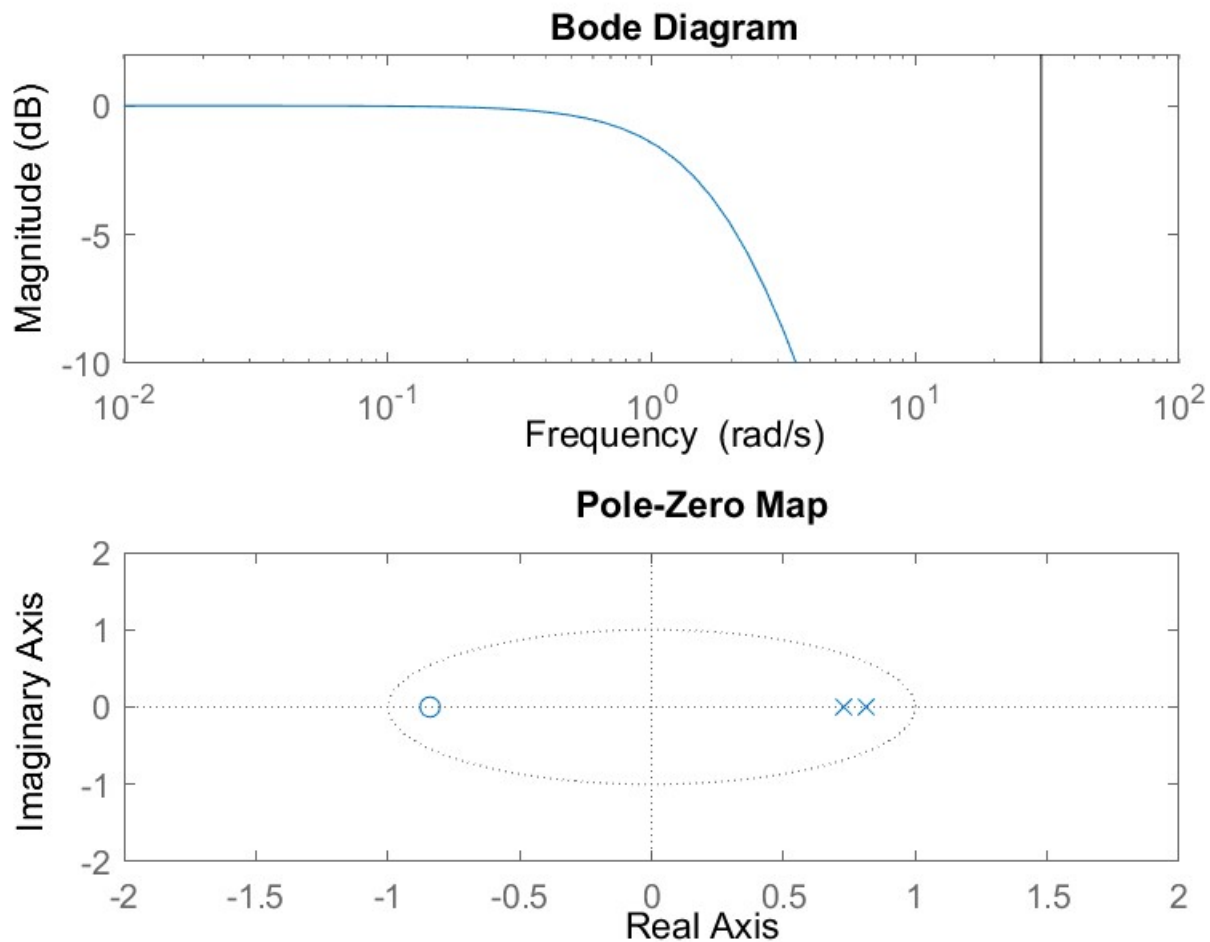
Dla różnych wartości h mogłem zaobserwować różny kształt charakterystyki Bodego oraz umiejscowienie zer i biegunów na wykresie narysowanym dzięki pzmap.



Rysunek 5: Charakterystyka Bodego i pzmap dla $h = h_{\max}$



Rysunek 6: Charakterystyka Bodego i pzmap dla $h = h_{\max} / 2$



Rysunek 7: Charakterystyka Bodego i pzmap dla $h = h_{\max} / 20$

Symbolem 'x' zaznaczone są bieguny i jeśli są one po prawej stronie układu współrzędnych na osi x to oznacza stabilność układu bez oscylacji. Aby układ był stabilny to jego bieguny muszą leżeć wewnątrz koła o promieniu 1.

2.2 Zadanie 7.2

Zadanie polegało na przeanalizowaniu się schematów różnicowych dla macierzy systemu ciągłego:

$$A = \begin{bmatrix} -1 & 0 \\ 0 & -2 \end{bmatrix} \quad (11)$$

W zależności od wielkości h i na porównaniu rozwiązań numerycznych z rozwiązaniem analitycznym układu ciągłego w czasie. Aby rozwiązać to analitycznie wiemy, że:

$$\dot{x}(t) = Ax(t) \quad (12)$$

Więc możemy zapisać to w postaci układu równań:

$$\dot{x}_1(t) = -x_1(t) \quad (13)$$

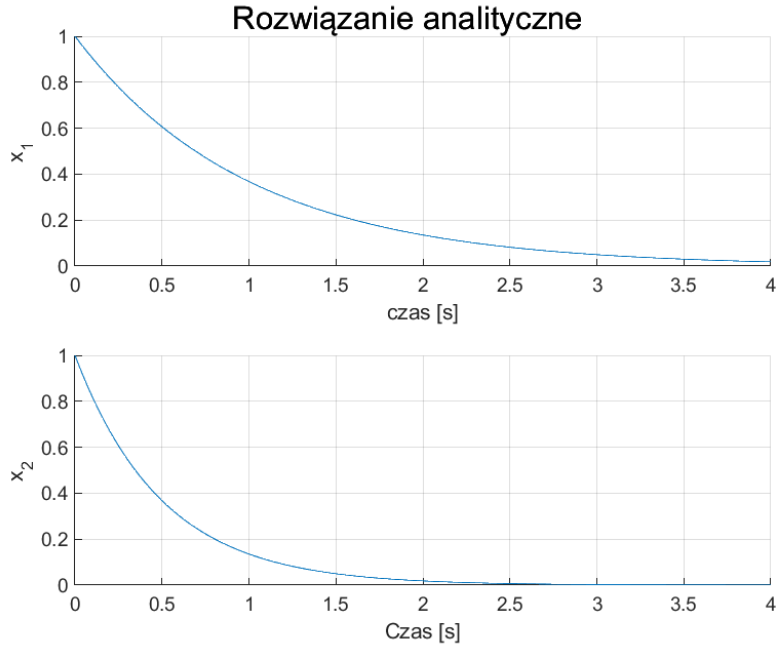
$$\dot{x}_2(t) = -2x_2(t) \quad (14)$$

Rozwiązaniem powyższego układu równań jest:

$$x_1(t) = e^{-t}x(0) \quad (15)$$

$$x_2(t) = e^{-2t}x(0) \quad (16)$$

Rozpatruje układ dla warunków początkowych $x = [1, 1]$ i przebiegi czasowe zostały przedstawione poniżej.



Rysunek 8: Rozwiązanie analityczne.

Następnie przeprowadzono analizę dla 3 metod różnicowych. Pierwszą z nich była metoda Eulera z krokiem w przód, który jest zdefiniowany następującą zależnością.

$$x^+(i+1) = (I + hA)x^+(i) + hBu^+(i) \quad (17)$$

Metoda Eulera z krokiem w tył:

$$x^+(i+1) = (I - hA)^{-1}x^+(i) + (I - hA)^{-1}hBu^+(i+1) \quad (18)$$

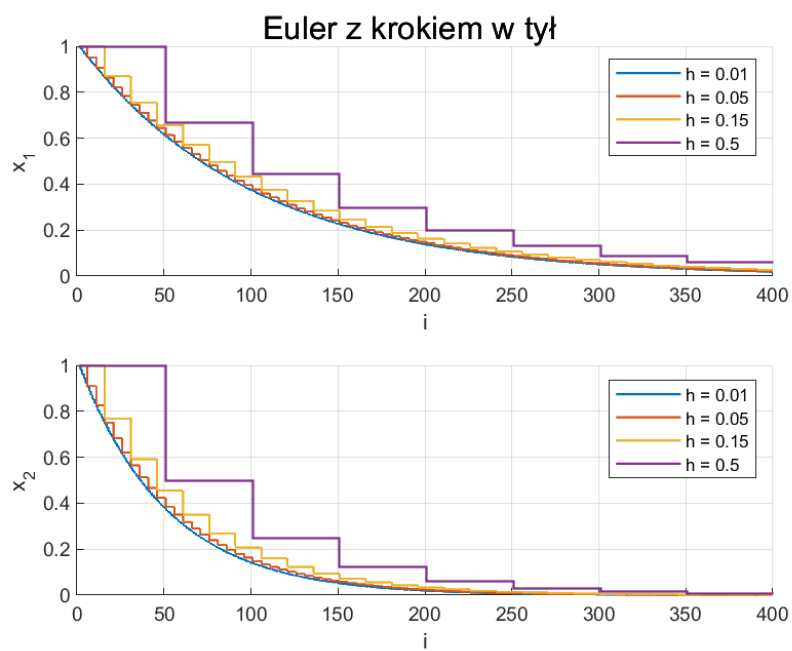
Newton-Coles:

$$x^+(i+1) = (I - 0.5hA)^{-1}(I + 0.5hA)x^+(i) + 0.5h(I - 0.5hA)^{-1}B(u^+(i+1) + u^+(i)) \quad (19)$$

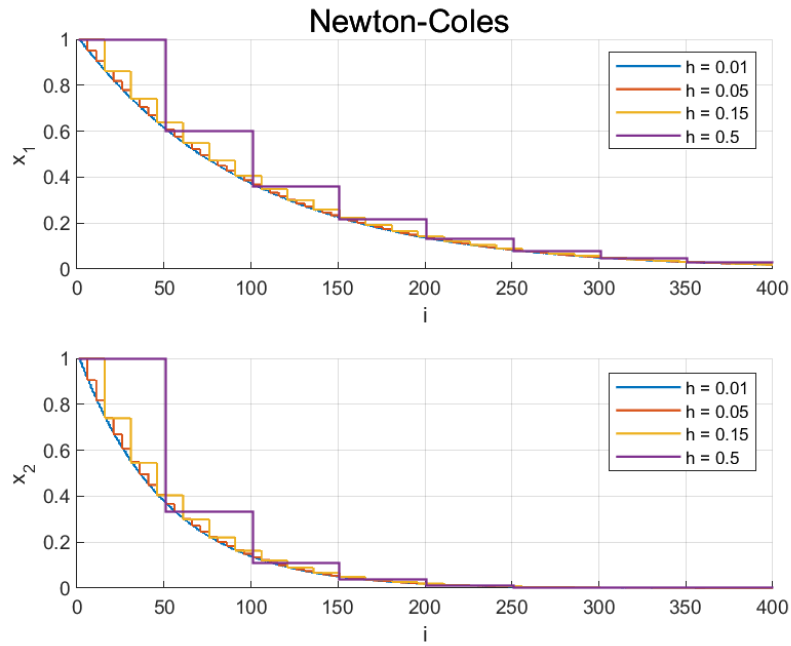
Poniżej przedstawiono ich rezultaty:



Rysunek 9: Metoda Eulera z krokiem w przód.



Rysunek 10: Metoda Eulera z krokiem w tył.



Rysunek 11: Metoda Newtona-Colesa

Dla małej wartości kroku (okresu próbkowania) metody iteracyjne z bardzo dużą dokładnością aproksymują zachowanie się układu ciągłego. Wraz ze wzrostem wartości h zaczynają się od siebie różnić. Im mniejsza wartość h tym większy jest czas obliczeń. Metoda Eulera w przód wymaga odpowiedniego doboru długości kroku, aby zapewnić odpowiednią dokładność rozwiązania, zbyt mały krok może prowadzić do nadmiernej złożoności obliczeniowej a za duża wartość do mało dokładnego rozwiązania.

2.3 Zadanie 7.3

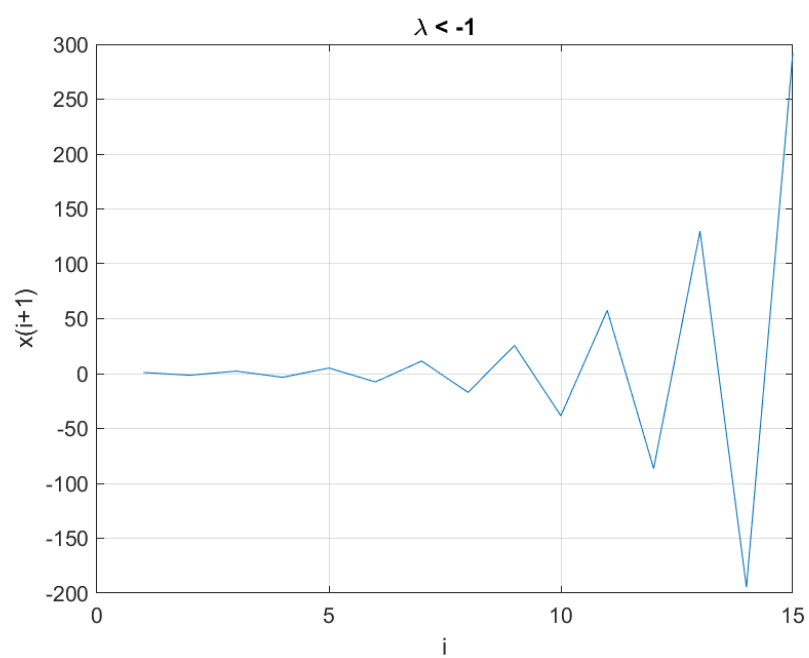
Tutaj naszym celem była analiza zachowania systemu dyskretnego:

$$x(k+1) = \lambda x(k) \quad (20)$$

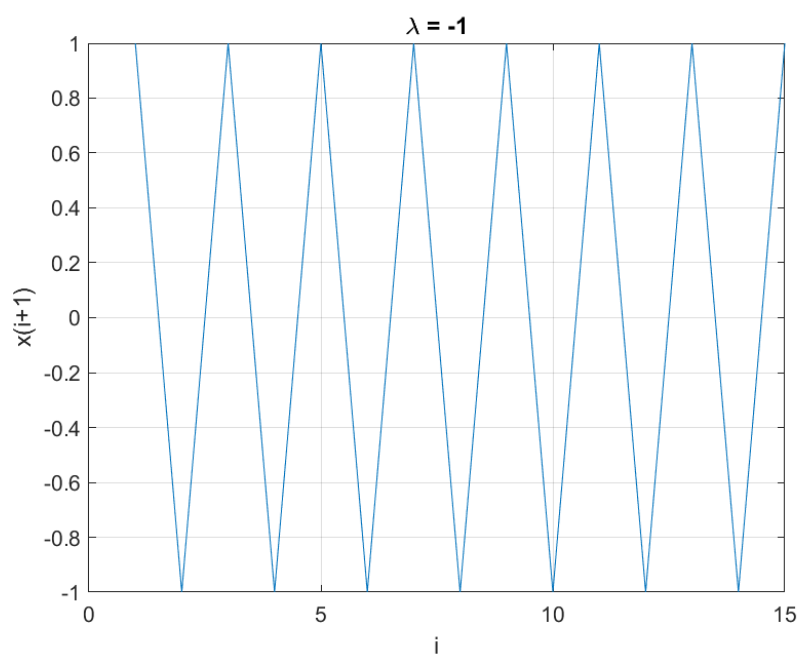
Dla $k = 0, 1, 2, \dots$. W zależności od wartości parametru λ :

1. $\lambda < -1$
2. $\lambda = -1$
3. $\lambda \in (-1, 0)$
4. $\lambda = 0$
5. $\lambda \in (0, 1)$
6. $\lambda = 1$
7. $\lambda > 1$

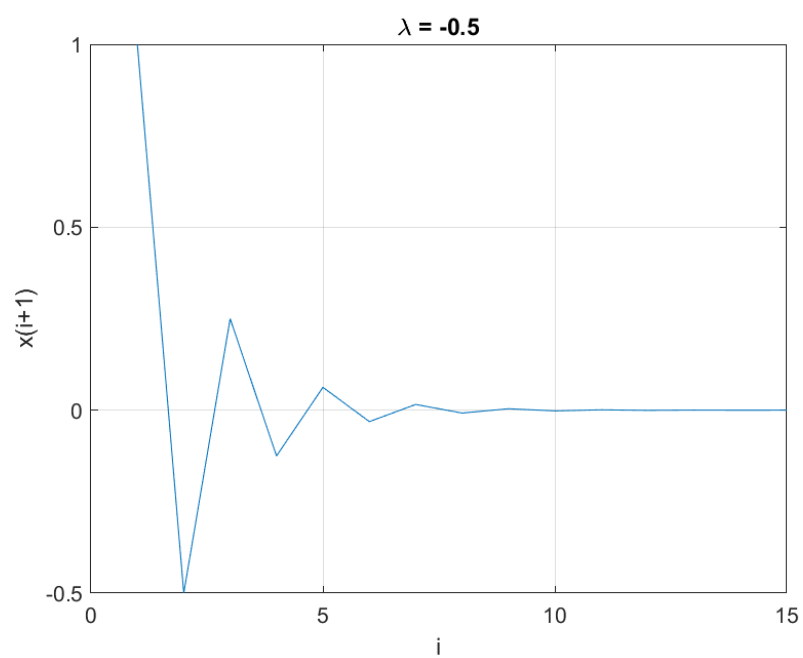
Wykresy przedstawiające wartości systemu dynamicznego od liczby iteracji przedstawiono poniżej.



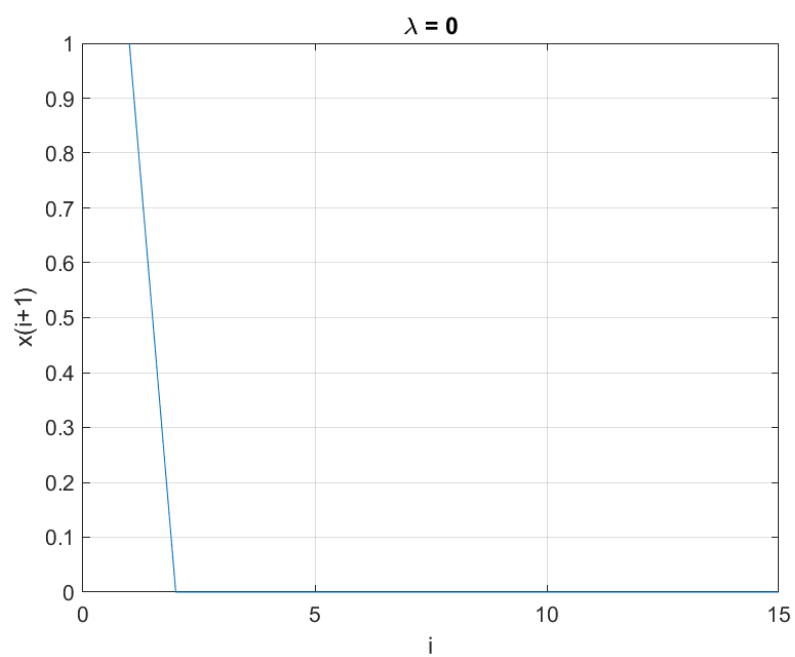
Rysunek 12: System dla wartości $\lambda < -1$



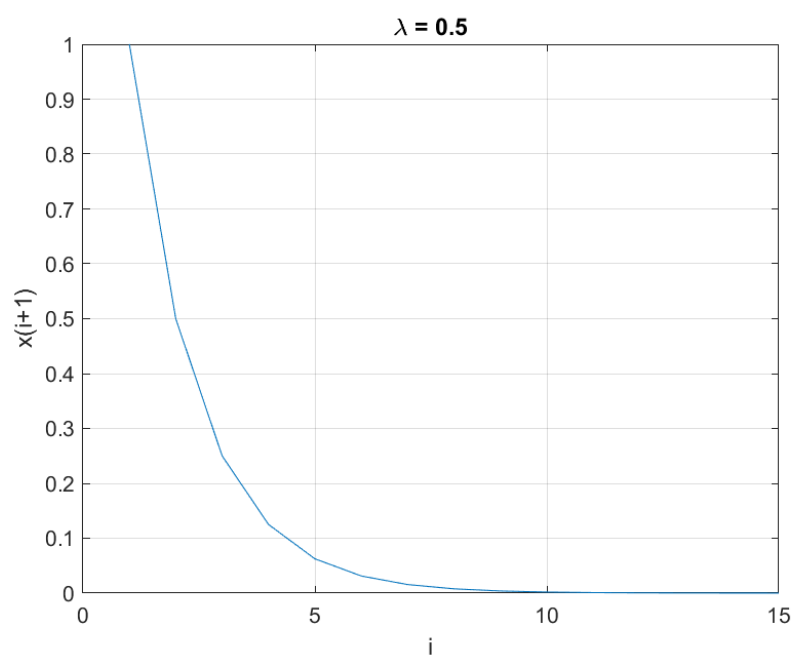
Rysunek 13: System dla wartości $\lambda = -1$



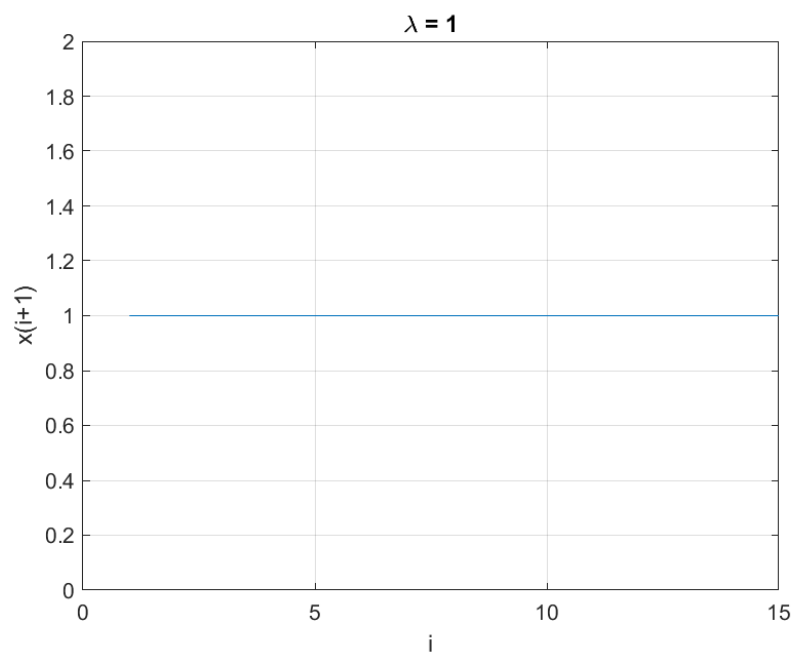
Rysunek 14: System dla wartości z przedziału $\lambda \in (-1, 0)$



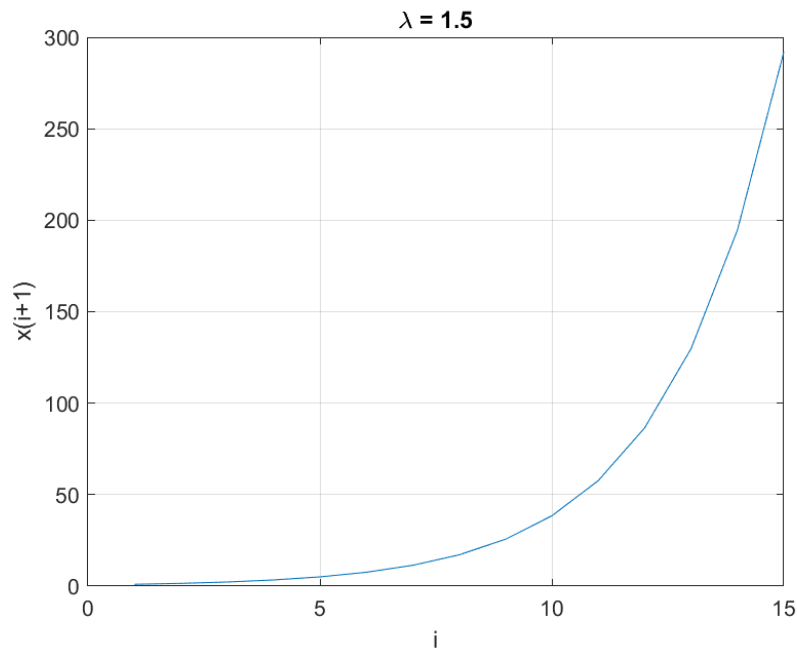
Rysunek 15: System dla wartości $\lambda = 0$



Rysunek 16: System dla wartości z przedziału $\lambda \in (0, 1)$



Rysunek 17: System dla wartości $\lambda = 1$



Rysunek 18: System dla wartości $\lambda > 1$

Na podstawie powyższych charakterystyk dochodzę do wniosków, iż:

1. System jest asymptotycznie stabilny dla $\lambda \in (-1, 1]$
2. System jest niestabilny dla $\lambda \in (-\infty, -1] \cup (1, +\infty)$

3 Opis wniosków i obserwacji

Dobór odpowiedniego okresu próbkowania kluczowym i niezmierni ważnym zadaniem podczas projektowania systemów dyskretnych. Okres próbkowania ma wpływ na stabilność systemów dyskretnych. Zbyt mały okres próbkowania może prowadzić do niestabilności metod numerycznych lub zjawiska aliasingu czyli zjawiska, w którym sygnał zostaje zniekształcony i nie można go poprawnie odtworzyć (należy pamiętać aby spełnić warunki twierdzenia Kotielnikowa-Shannona). Za to zbyt duży okres próbkowania może prowadzić do utraty informacji lub niedokładności w reprezentacji sygnału.

Warunkiem stabilności asymptotycznej w układach dyskretnych jest to, aby wszystkie bieguny transmitancji leżały wewnątrz koła jednostkowego.

Zawsze z dyskretyzacją wiąże się utrata pewnej informacji o zachowaniu się układu dlatego musimy pamiętać o odpowiednim doborze okresu próbkowania.

Literatura

- [1] Teoria Sterowania: Materiały pomocnicze do ćwiczeń Laboratoryjnych - Baranowski, Hajduk, Korytowski, Mitkowski, Tutaj - AGH 2007